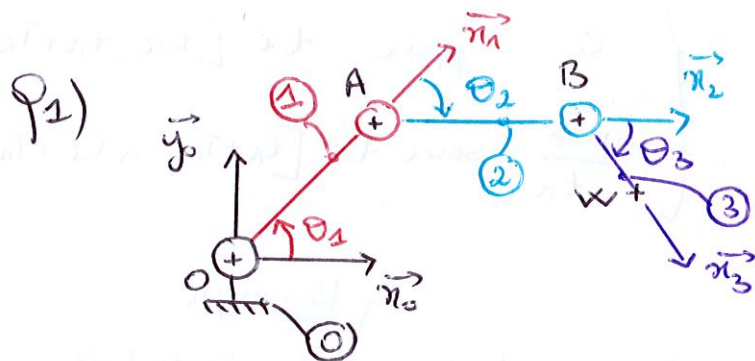
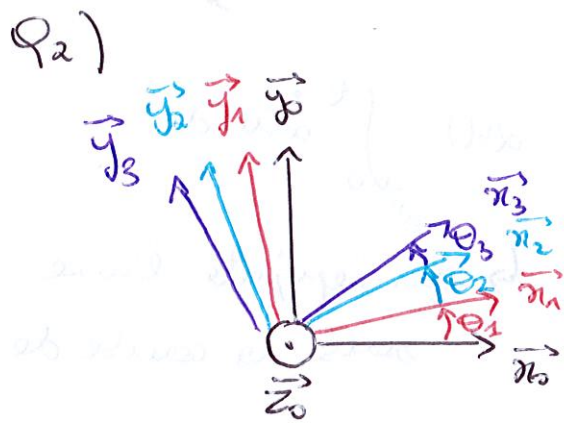


Partie I : Robot de transfert de Wifens

①



avec $\begin{cases} \overrightarrow{OA} = R\vec{n}_1 \\ \overrightarrow{AB} = R\vec{n}_2 \end{cases}$ et $\overrightarrow{BW} = d\vec{n}_3$



Q3) $\overrightarrow{OW} = \overrightarrow{OA} + \overrightarrow{AB} + \overrightarrow{BW} = R\vec{n}_1 + R\vec{n}_2 + d\vec{n}_3$

Q4) $\overrightarrow{v_{WE3/0}} = \frac{d\overrightarrow{OW}}{dt} \Big|_0 = R\ddot{\theta}_1\vec{y}_1 + R(\dot{\theta}_1 + \dot{\theta}_2)\vec{y}_2 + d(\dot{\theta}_1 + \dot{\theta}_2 + \dot{\theta}_3)\vec{y}_3$

lecture de
la figure de projection

Q5) $\overrightarrow{v_{WE3/0}} = \frac{d\overrightarrow{v_{WE3/0}}}{dt} \Big|_0 = R\ddot{\theta}_1\vec{y}_1 - R\dot{\theta}_1^2\vec{n}_1 + R(\ddot{\theta}_1 + \ddot{\theta}_2)\vec{y}_2 - R(\dot{\theta}_1 + \dot{\theta}_2)^2\vec{n}_2 + d(\ddot{\theta}_1 + \ddot{\theta}_2 + \ddot{\theta}_3)\vec{y}_3 - d(\dot{\theta}_1 + \dot{\theta}_2 + \dot{\theta}_3)^2\vec{n}_3$

Q6) $\gamma_{1/0} = \left\{ \begin{array}{l} \dot{\theta}_1 \vec{z}_0 \\ 0 \end{array} \right\}_0, \quad \gamma_{2/1} = \left\{ \begin{array}{l} \dot{\theta}_2 \vec{z}_0 \\ 0 \end{array} \right\}_A \quad \text{et} \quad \gamma_{3/2} = \left\{ \begin{array}{l} \dot{\theta}_3 \vec{z}_0 \\ 0 \end{array} \right\}_B$

mt rotation
d'axe (0, z̄)
mt rotation
d'axe (A, z̄)
mt rotation
d'axe (B, z̄)

Q7) Par composition des vitesses : $v_{3/0} = v_{3/2} + v_{2/1} + v_{1/0}$

En écrivant le tenseur au point W : $v_{3/0} = \left\{ \begin{array}{l} \vec{s}_{3/0} \\ w \end{array} \right\} \overrightarrow{v_{WE3/0}}$

où $\vec{s}_{3/0} = \vec{s}_{3/2} + \vec{s}_{2/1} + \vec{s}_{1/0} = (\dot{\theta}_1 + \dot{\theta}_2 + \dot{\theta}_3)\vec{z}_0$

et $\overrightarrow{v_{WE3/0}}$ est le vecteur vitesse calculé à la Q4

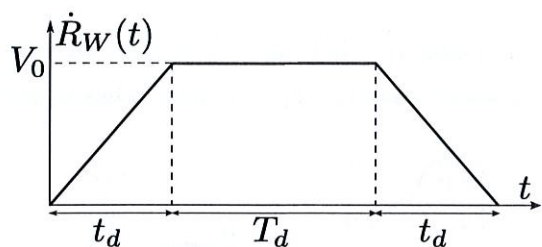
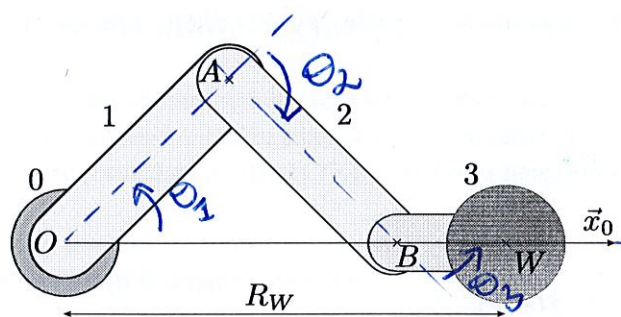


FIGURE 6 – Position du robot en phase de déploiement.

FIGURE 7 – Loi de vitesse en phase de déploiement.

Question 8 :

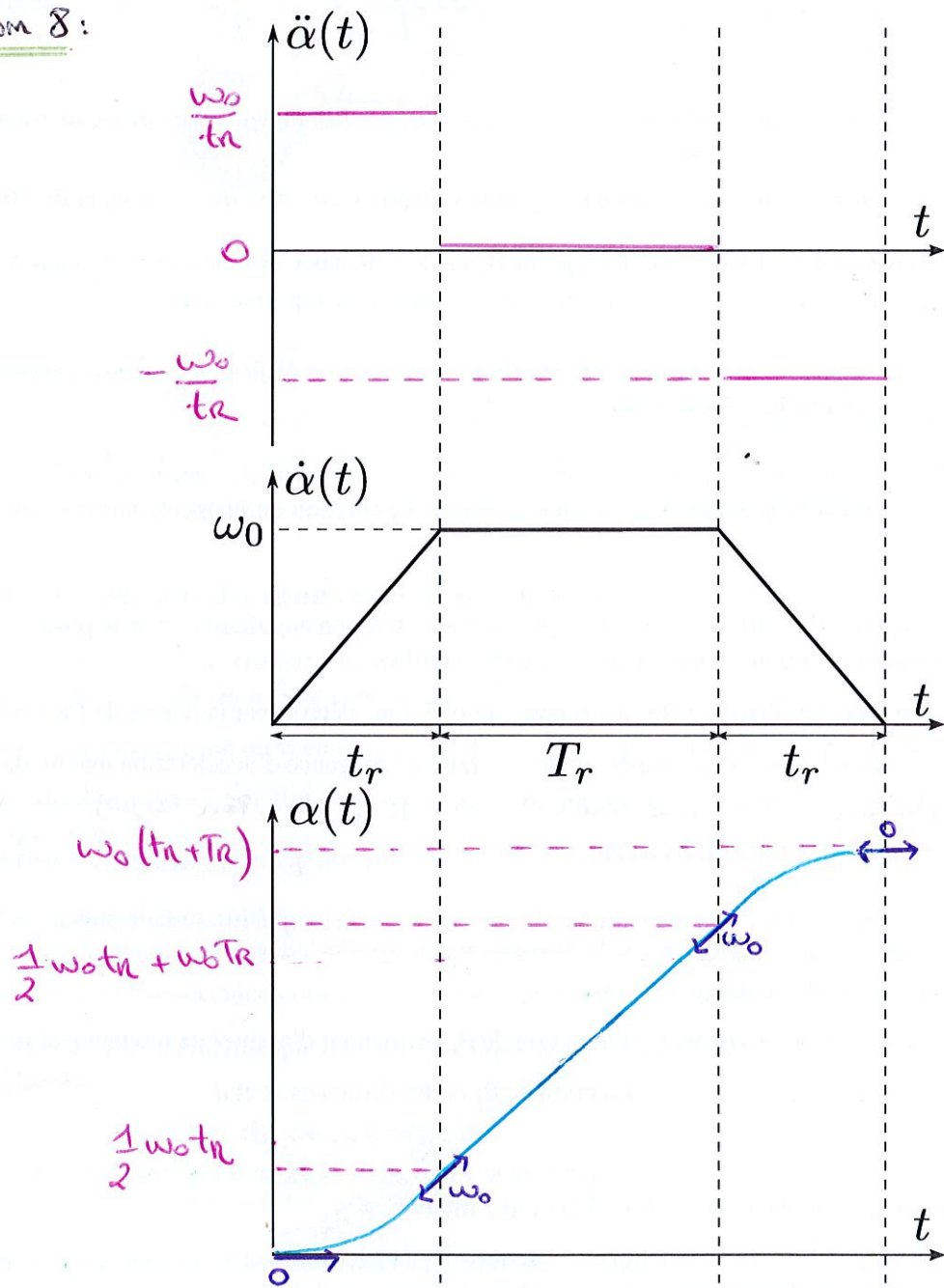


FIGURE 8 – Document réponse : Tracé de la loi de vitesse en trapèze.

Q8) $\ddot{\alpha}(t) = \frac{d\dot{\alpha}(t)}{dt} \Rightarrow \ddot{\alpha}(t) = \begin{cases} \frac{\omega_0}{t_n} & \text{pour } t \in [0, t_n] \\ 0 & \text{pour } t \in [t_n, t_n + T_n] \\ -\frac{\omega_0}{t_n} & \text{pour } t \in [t_n + T_n, 2t_n + T_n] \end{cases}$

$$\alpha(t) = \int_0^t \dot{\alpha}(u) du$$

↳ cela représente l'aire
sous la courbe de $\dot{\alpha}$ entre 0 et t .)

Remarque :
sur $[0, t_n]$ et
 $[t_n + T_n, 2t_n + T_n]$

$$\Rightarrow \alpha(t_n) = \boxed{\frac{1}{2} \omega_0 t_n}$$

$$\alpha(t_n + T_n) = \boxed{\frac{1}{2} \omega_0 t_n + \omega_0 T_n}$$

$$\alpha(2t_n + T_n) = \frac{1}{2} \omega_0 t_n + \omega_0 T_n + \frac{1}{2} \omega_0 t_n = \boxed{\omega_0(t_n + T_n)}$$

$\alpha(t)$ suit une parabole

↳ primitive de
fonction affine

et fonction affine sur $[t_n, t_n + T_n]$

Q9) Dans ce mouvement de rotation, autour de l'axe (O, \vec{z}_0) :

$$\vec{\omega} = R_w \vec{n}_3 \quad \text{avec } \alpha = (\vec{n}_3, \vec{z}_0)$$

$$\Rightarrow \vec{\Gamma}_{we3/0} = \boxed{R_w \ddot{\alpha} \vec{y}_3 - R_w \dot{\alpha}^2 \vec{n}_3}$$

$$\begin{aligned} \Rightarrow \|\vec{\Gamma}_{we3/0}\|^2 &= \vec{\Gamma}_{we3/0} \cdot \vec{\Gamma}_{we3/0} \\ &= (R_w \ddot{\alpha})^2 + (R_w \dot{\alpha}^2)^2 \end{aligned}$$

$$\Rightarrow \|\vec{\Gamma}_{we3/0}\| = \boxed{R_w \sqrt{\dot{\alpha}^2 + \ddot{\alpha}^2}}$$

Q10) Le cahier des charges impose $\|\vec{\Gamma}_{we3/0}\|_{\max} \leq 0,5 \text{ g}$

avec $\|\vec{\Gamma}_{we3/0}\|_{\max} = R_w \sqrt{\left(\frac{\omega_0}{t_n}\right)^2 + \omega_0^4} = 0,5 \times 9,81 \text{ m/s}^2$

$$t = t_n \text{ ou } (t_n + T_n)^+ \Rightarrow R_w \approx 2,4 \text{ m}$$

Qn) En pratique le rayon maximal R_{max} est atteint

pour $\Theta_2 = \Theta_3 = 0^\circ$ (robot totalement déployé)

$$\Rightarrow R_{\text{max}} = 2R + d = 2,5 \text{ m} > 2,4 \text{ m}$$

fig 4

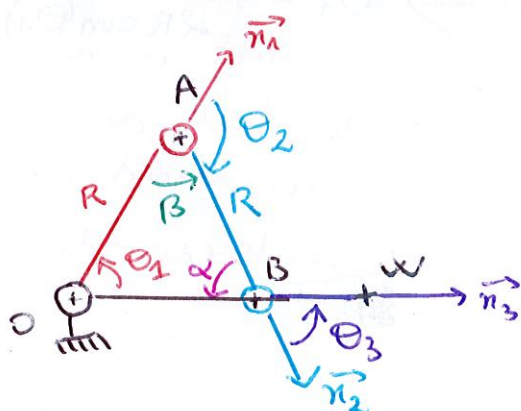
↳ Il faut donc nécessairement replier le robot Scala avant de réaliser sa phase de station afin de puiser vérifier le critère d'accélération maximale.

Q12) Pour s'assurer que B et W sur $(0, \vec{n}_0)$ durant la phase de déploiement, il faut :

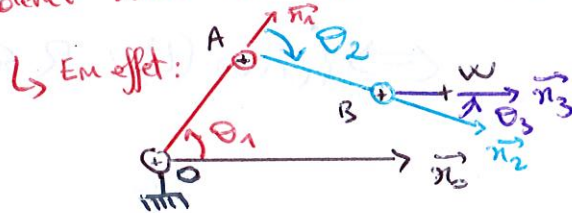
$$\left\{ \begin{array}{l} \Theta_2 = -2\Theta_1 \text{ (*)} \\ \Theta_3 = \Theta_1 \text{ (**)} \end{array} \right.$$

Remarque : Dire $\vec{n}_3 = \vec{n}_0$
 $\Rightarrow \Theta_1 + \Theta_2 + \Theta_3 = 0$

En effet, en reprenant le schéma de déploiement Figure 6 :



Il n'impose pas que B et W soient sur la droite $(0, \vec{n}_0)$



↳ En effet : triangle OAB, donc :

$$\underbrace{\Theta_1 + \alpha + \beta}_{\text{tous orientés } > 0 \text{ comme au TD 1}} = \pi \quad (\text{i})$$

④ triangle isocèle en A, donc :

$$\Theta_1 = \alpha \quad (\text{ii})$$

$$\text{On : } \alpha = \Theta_3 \quad (\text{angles alternes-internes}) \quad (\text{iii})$$

$$\text{et : } \pi = \beta - \Theta_2 \quad (\text{droite } (OA)) \quad (\text{iv})$$

$$\left\{ \begin{array}{l} \Theta_1 + \Theta_2 + \Theta_3 = \pi \\ \Theta_1 = \Theta_3 \\ \Theta_2 = -2\Theta_1 \end{array} \right. \quad \left\{ \begin{array}{l} \Theta_1 + \Theta_2 + \Theta_3 = \pi \\ \Theta_1 = \Theta_3 \\ \Theta_2 = -2\Theta_1 \end{array} \right.$$

$$\begin{aligned}
 Q_{13}) \quad \overrightarrow{O\bar{W}} &= R_W \vec{n}_0 = \overrightarrow{OA} + \overrightarrow{AB} + \overrightarrow{BW} \\
 &\Leftrightarrow R_W \vec{n}_0 = R \vec{m} + R \vec{n}_2 + d \vec{n}_3 \\
 &\Rightarrow R_W \vec{n}_0 \cdot \vec{n}_0 = R(\vec{n}_1 + \vec{n}_2) \cdot \vec{n}_0 + d \vec{n}_3 \cdot \vec{n}_0 \\
 &\Rightarrow R_W = R[\cos(\theta_1) + \cos(\theta_1 + \theta_2)] + d \cos(\theta_1 + \theta_2 + \theta_3) \\
 &\Leftrightarrow \boxed{R_W = 2R \cos(\theta_1) + d} \quad (\text{rekof})
 \end{aligned}$$

$$\begin{aligned}
 \theta_1 &= \theta_3 \\
 -2\theta_1 &= \theta_2 \\
 \Rightarrow \theta_1 + \theta_2 + \theta_3 &= 0
 \end{aligned}$$

comme précédemment, le déplacement total correspond à l'aire sous la courbe de $R_W(t)$

$$\Rightarrow L = V_0(t_d + T_d) \Rightarrow T_d = \frac{L - V_0 t_d}{V_0} = 1,8 \Delta.$$

$$\Rightarrow \text{temps de déploiement vaut: } \boxed{2 + t_d + T_d = 2,2 \text{ s}}$$

Q15) En dérivant la relation (rekof) trouvé Q13 :

$$\boxed{\dot{R}_W = -2R \dot{\theta}_1 \sin(\theta_1)} \rightarrow \text{cette équation permet de définir les lois de commandes des moteurs } M_1, M_2, M_3$$

Partie II : Goniomètre à actionneurs piézo-électriques ③

Q16) cf document réponse

Q17) Comme tjs, on se place sous les conditions d'Heaviside, on pose les équations de le domaine de Laplace et on les "met en forme" pour identifier les fonctions de transfert d'autour des $\rightarrow \oplus \rightarrow$.

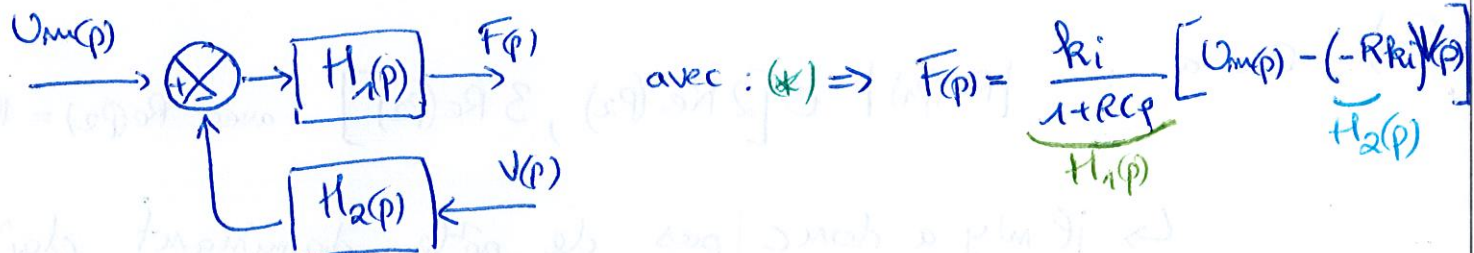
↳ Sous les conditions d'Heaviside,

$$(1) \Rightarrow U_m(p) = -Rk_i p \lambda(p) + \frac{1+RCp}{k_i} F(p) \quad (*)$$

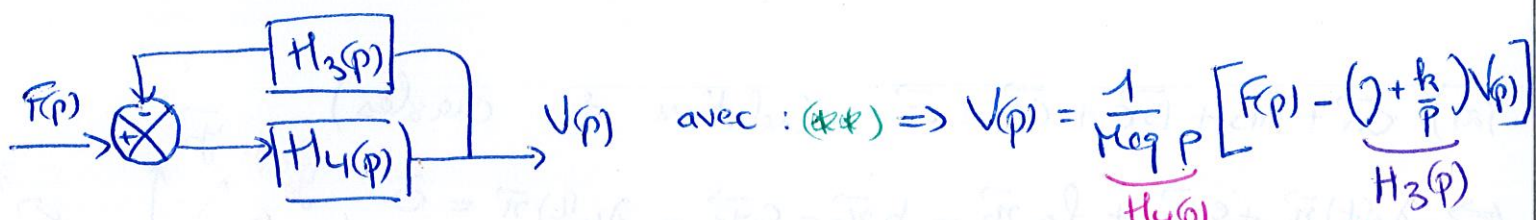
$$(2) \Rightarrow p^2 M_{eq} \lambda(p) = [-k - \gamma p] \lambda(p) + F(p) \quad (**)$$

$$(3) \Rightarrow V(p) = p \lambda(p)$$

↳ On identifie donc, pour le sommeteur "d'entrée":



↳ Et le sommeteur "intérieur" :



Remarque : Rien empêche d'écrire $(**)$ sous la forme équivalente :

$$V(p) = \frac{1}{\gamma + RCP} \left[F(p) - \frac{k}{p} V(p) \right]$$

ce qui aboutit à un schéma-étoiles équivalent \Rightarrow les deux sont justes.

Q18) On lit :

$$\begin{cases} P_1 = -3450 \text{ s}^{-2} \\ P_2 = -1450 + j1950 \text{ s}^{-1} \\ P_3 = -1450 - j1950 \text{ s}^{-1} \end{cases}$$

→ Puisque tous les pôles sont à partie réelle strictement négative \Rightarrow système stable.

Q19) $H(p) = \frac{K_0}{(p-p_1)(p-p_2)(p-p_3)}$ avec $p_3 = \overline{p_2}$ { complexes conjugués}

$$= -p_1 p_2 p_3 \left(1 + \frac{p}{-p_1}\right) \left(1 + \frac{-(p_1 + p_3)}{p_2 p_3} p + \frac{p^2}{p_2 p_3}\right) \text{ et } p_1 + p_2 \in \mathbb{R}^- = -2900$$

On identifie : $T_e = -\frac{1}{p_1}$, $\begin{cases} \frac{2\zeta}{\omega_0} = -\frac{p_2 + p_3}{p_2 p_3} \\ \omega_0^2 = p_2 p_3 \end{cases} \Leftrightarrow \begin{cases} \omega_0 = \sqrt{p_2 p_3} \\ \zeta = \frac{1}{2} \frac{p_2 + p_3}{\sqrt{p_2 p_3}} \end{cases}$

Q20) On a : $|Re(p_1)| \in [2Re(p_2), 3Re(p_2)]$ avec $Re(p_2) = Re(p_3)$

→ il n'y a donc pas de pôle dominant dans

\Rightarrow on ne peut redire l'ordre de $H(p)$.

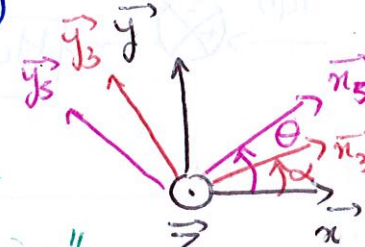
Q21) $\vec{OA} + \vec{AB} + \vec{BC} + \vec{CO} = \vec{0}$ (relation de chasles)

$$\Leftrightarrow \lambda_2(t) \vec{n} + e \vec{y} + l_3 \vec{n}_3 - b \vec{n}_5 - c \vec{y}_5 - \lambda_4(t) \vec{n} = \vec{0}$$

$$\Leftrightarrow \Delta \lambda \vec{n} - e \vec{y} + b \vec{n}_5 + c \vec{y}_5 = l_3 \vec{n}_3$$

$$\Leftrightarrow \|\Delta \lambda \vec{n} - e \vec{y} + b \vec{n}_5 + c \vec{y}_5\|^2 = \|l_3 \vec{n}_3\|^2$$

"camé scalarie" en isolant \vec{n}_3 qui aurait fait apparaître



$$\Leftrightarrow (\Delta \lambda \vec{n} - e \vec{y} + b \vec{n}_s + c \vec{y}_s) \cdot (\Delta \lambda \vec{n} - e \vec{y} + b \vec{n}_s + c \vec{y}_s) = l_3 \vec{n}_3 \cdot l_3 \vec{n}_3$$

$$\Leftrightarrow l_3^2 = \Delta \lambda^2 + e^2 + b^2 + c^2 \text{ produit scalaire } \vec{n}_k \cdot \vec{n}_k$$

$$+ 2 \Delta \lambda [b \cos(\theta) - c \sin(\theta)] - 2e [b \sin(\theta) + c \cos(\theta)]$$

les doubles produits scalaires $\vec{n}_k \cdot \vec{n}_j$

On identifie :
$$B(\theta) = 2 [b \cos(\theta) - c \sin(\theta)]$$

et
$$C(\theta) = e^2 + b^2 + c^2 - l_3^2 - 2e [b \sin(\theta) + c \cos(\theta)]$$

Remarque : Si vous avez suivi l'indication de l'énoncé, en projetant la relation de chutes sur \vec{x} et \vec{y} , puis en isolant $l_3 \cos(\alpha)$ et $l_3 \sin(\alpha)$ pour mettre "au carré" afin de faire disparaître le paramètre "intérieur" α

↳ vous obtenez une version réécrite de $C(\theta)$ équivalente :

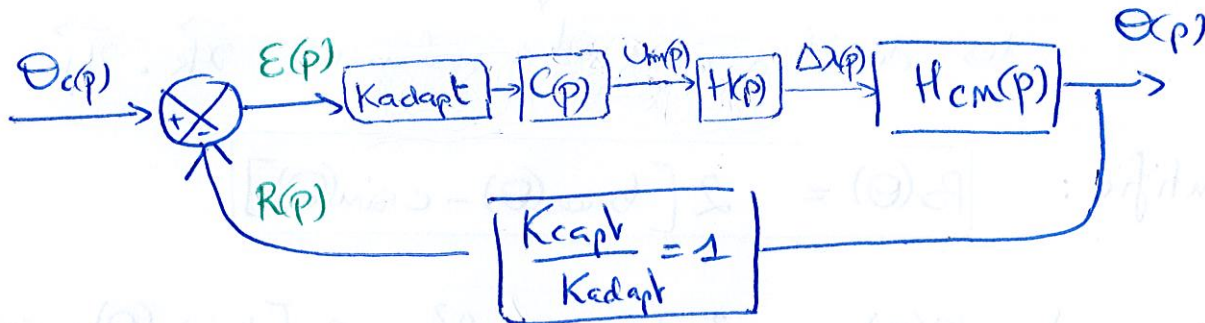
$$C(\theta) = [b \cos(\theta) - c \sin(\theta)]^2 + [b \cos(\theta) + c \sin(\theta) - e]^2 - l_3^2$$

Q2) Le goniomètre fonctionne principalement pour $|\theta| \ll 1$
(cela correspond à un échantillon "à plat" \rightarrow Figure 9 et 11)

On propose donc $H_{CM}(P) = K_{CM}$ "gain pur"

et on lit $K_{CM} = \frac{0 - (-0,4) \text{ [red]}}{88 - 75 \text{ [mm]}} = 3 \times 10^{-2} \text{ rad/mm}$
sur la figure 12:

Q23) Puisque $K_{adapt} = K_{adapt}$, on peut déplacer le sommeteur pour aboutir au schéma-blocs à retour unitaire suivant :



Par définition : $H_{BO}(p) = \frac{R(p)}{E(p)} = K_{adapt} C(p) H(p) H_{cm}(p)$

blocs empiriques

Q24) On lit en $\omega = 8000 \text{ rad/s} := \omega_{dB}$

$$\varphi_{\text{non corrigé}}(\omega_{dB}) = -225^\circ$$

↳ phase du système non corrigé : "Kadapt H(p) Hcm(p)"

On : $\varphi(\omega_{dB}) = \varphi_{\text{max}} + \varphi_{\text{non corrigé}}(\omega_{dB}) \quad \} \text{phase du système corrigé, } H_{BO}(p)$

$$\Rightarrow \varphi_{\text{max}} = M\varphi - 180^\circ - \varphi_{\text{non corrigé}}(\omega_{dB}) \\ = 75^\circ$$

↳ Remarque : la démarche effectuée ici est de "remettre" la phase du système en ω_{dB} souhaitée à l'aide du correcteur !

Q25) D'après énoncé : $\sin(\varphi_{\text{max}}) = \frac{a-1}{a+1}$

$$\Leftrightarrow a = \frac{1 + \sin(\varphi_{\text{max}})}{1 - \sin(\varphi_{\text{max}})}$$

et $\omega_{H_{max}} = \omega_{dB} \Rightarrow \tau = \frac{1}{\omega_{dB}} \times \frac{1}{\frac{1}{\tau_0}} = \frac{1}{\omega_{dB}} \sqrt{\frac{1 - \sin(\varphi_{\text{max}})}{1 + \sin(\varphi_{\text{max}})}}$

Q26) Afin d'imposer $\omega_{0dB} = 8000 \text{ rad/s}$, (5)

il faut :

$$20 \log (|H_{B0}(\jmath\omega_{0dB})|) = 0 \text{ dB}$$

$$\underbrace{20 \log (K_p \sqrt{a})}_{\substack{\text{gaine du } C(p) \\ \text{en } \omega_{0dB} = \omega_{\text{MAX}}}} + \underbrace{20 \log (|K_{\text{adapt}} H(\jmath\omega_{0dB}) H_{\text{en}}(\jmath\omega_{0dB})|)}_{\substack{\approx -10 \text{ dB par} \\ \text{lecture graphique}}} \approx -10 \text{ dB par lecture graphique}$$

$$\Rightarrow 20 \log (K_p \sqrt{a}) = 10 \text{ dB} \rightarrow \text{relation définissant } K_p \text{ puisque } a \text{ est connue (Q25)}$$

Remarque: On a donc réglé les paramètres a , K_p et τ de notre correcteur afin d'avoir simultanément :

↳ ω_{0dB} et M_{θ} souhaitée

↳ on a pour cela remonté la phase avec ϕ_{MAX} en ω_{0dB} , Q24-25

puis le gain avec K_p pour imposer ω_{0dB} voulue

Q26

Q27) Avec le correcteur réglé, on a donc :

$$\begin{cases} \varphi(8000) = -150^\circ \\ GdB(8000) = 0 \text{ dB} \end{cases}$$

comme le gain et la phase sont des fonctions décroissantes de la pulsation " ω ", on aura forcément :

$$\begin{cases} \varphi(\omega_{-180^\circ}) = -180^\circ & \text{pour } \omega_{-180^\circ} > 8000 \text{ rad/s} \\ GdB(\omega_{-180^\circ}) < 0 \text{ dB} \end{cases}$$

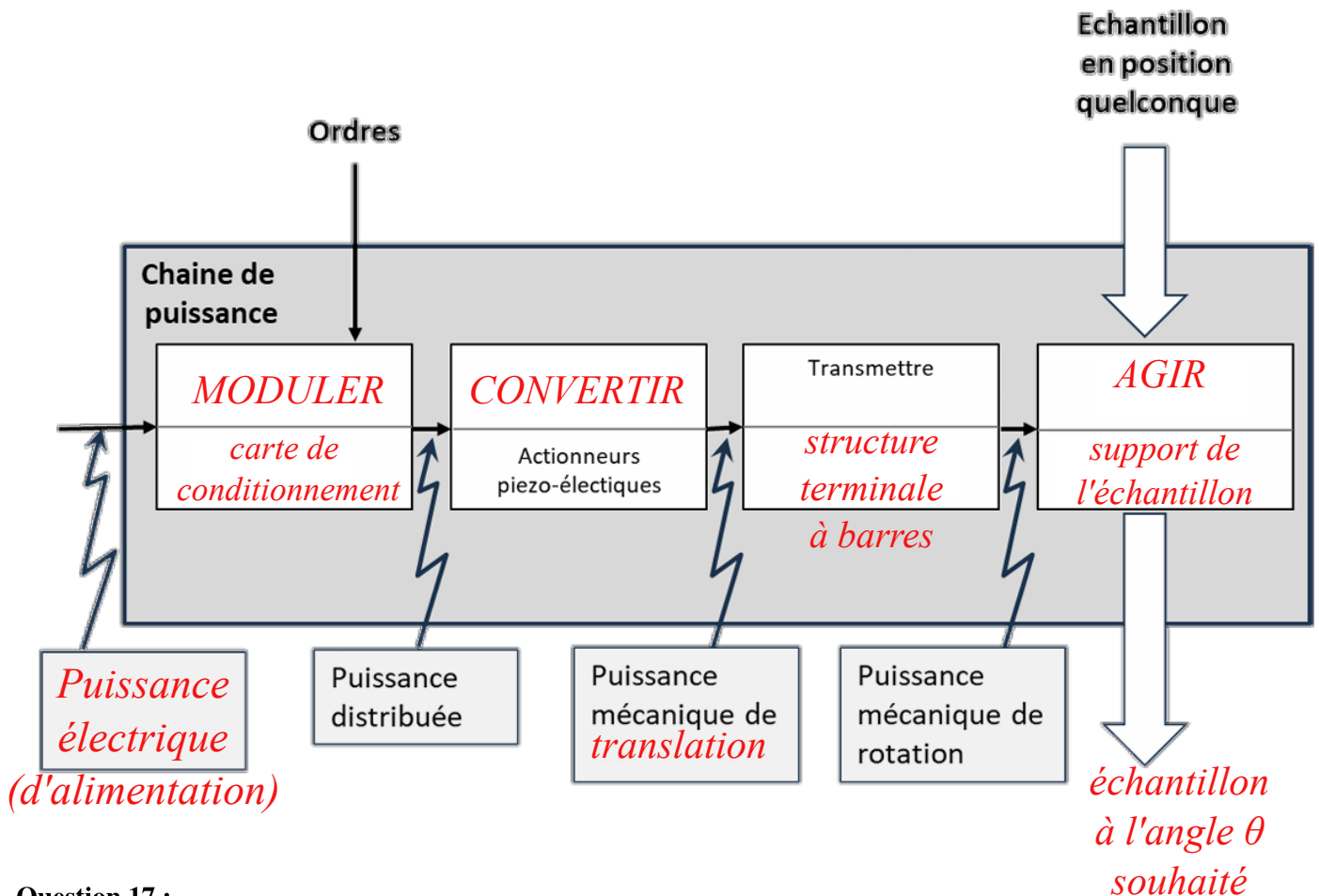
On parle du système asservi et corrigé ! bien évidemment

$$\rightarrow M_{\theta} = -GdB(\omega_{-180^\circ}) > 0$$

Conclusion: Puisque $M_{\theta} > 0$ et $M_{\theta} > 0$, le système est stable (critère du revers)

Goniomètre SmarGon à actionneurs piézo-électriques - Document Réponses (DR)

Question 16 :



Question 17 :

